

# 红树莓多酚提取物闪式提取工艺优化及其抗氧化性

李 康, 王希希, 崔晓瑞, 陈 雷, 黄 群, 宋洪波, 滕 慧\*

(福建农林大学食品科学院, 福建福州 350002)

**摘要:**对闪式提取红树莓总多酚的提取工艺进行研究,在单因素实验的基础上选取了溶剂体积分数、提取电压和提取时间为因素,以红树莓总多酚提取量为响应值,进行Box-Behnken中心组合实验设计,利用响应面分析法对提取条件进行优化,通过测定提取液对DPPH·和·OH清除能力,评价其抗氧化活性。结果表明,树莓总酚在四种溶剂中的提取效果顺序为:乙醇>水>石油醚>氯仿,最佳提取工艺参数为乙醇体积分数48%、提取电压150 V、提取时间为57 s,红树莓总酚提取量为(52.24 ± 0.66) mg/g,此外,提取物对DPPH·清除率达到93.71% ± 0.70%,对·OH清除率达到84.13% ± 1.58%。

**关键词:**红树莓, 闪式提取, 多酚, 抗氧化性

## Optimization of flash extraction process and antioxidant activity of polyphenol from red raspberry

LI Kang, WANG Xi-xi, CUI Xiao-rui, CHEN Lei, HUANG Qun, SONG Hong-bo, TENG Hui\*

(College of Food Science, Fujian Agriculture and Forestry University, Fuzhou 350002, China)

**Abstract:** The extraction processing of total polyphenols from red raspberry was performed and investigated. According to the result of single factor experiments, solvent concentration, extract time and voltage were further selected for Box-Behnken center design. The response surface methodology was applied to optimize the extraction conditions. The antioxidant activity was measured by *in vitro* DPPH and OH radical scavenging analysis. DPPH· and ·OH. The efficiency for extraction of total polyphenols from red raspberry in four solvents was in following order: ethanol > water > petroleum ether > chloroform. The optimal condition for extraction of total polyphenols were the solvent of ethanol, voltage 150 V, time 57 s. with the extract ratio of 48% and the yield of (52.24 ± 0.66) mg/g dry weight. In addition, the DPPH and OH radical inhibitory effects were 93.71% ± 0.70%, and 84.13% ± 1.58%, respectively.

**Key words:** red raspberry; flash extraction process; polyphenols; antioxidant activity

中图分类号:TS255.1

文献标识码:B

文章编号:1002-0306(2018)05-0197-06

doi:10.13386/j. issn1002 - 0306. 2018. 05. 038

红树莓,又称莓托盘、红马林等,因其富含多种人体必需的营养成分,且具有多种医药疗效,被列为世界第三代水果。红树莓果实中含有丰富黄酮、酚酸、鞣花酸等多酚类化合物,许多关于红树莓功能性研究表明,红树莓中的这些多酚类化合物对癌症、糖尿病、肥胖等疾病有抑制作用<sup>[1-3]</sup>,因此已成为食品与保健品研究的焦点。

在研究多酚的提取工艺的过程中,越来越多的新技术被引进,如微波辅助提取法、超声波辅助提取法、超高压提取法等<sup>[4-7]</sup>,但这些提取方法耗时长、效率低且操作繁琐,且容易导致植物多酚在提取过程中发生降解。闪式提取技术是一种新型提取方法,

近年来该技术被广泛的应用在植物活性成分提取方面,它利用高速机械剪切力和超动分子渗滤技术,将物料组织迅速破碎至细微颗粒,然后使物料组织内部的有效成分迅速进入溶剂中,瞬间达到溶剂浓度的平衡,通过与溶剂充分接触,快速提取物料中的有效成分。闪式提取法具有提取时间短、提取效率高和操作简单等特点,且很好的解决了植物多酚在提取过程中因时间过长导致温度过高引起降解的问题。近年来有文献报道了闪式提取技术应用在黄芪、肉苁蓉、山杏仁种皮等植物中活性成分的提取中<sup>[8-10]</sup>,提取效果较好。目前闪式提取法在红树莓活性成分提取方面的研究较少。

收稿日期:2017-07-26

作者简介:李康(1993-),男,硕士研究生,研究方向:农产品加工及贮藏工程,E-mail:lkang193@163.com。

\*通讯作者:滕慧(1985-),女,博士,讲师,研究方向:食品生物技术,E-mail:tenghui850610@126.com。

基金项目:福建省重大科技专项(2014NZ0002-1);福建农林大学高水平大学建设项目(基金编号612014042,612014043)。

因此,本文意在探讨闪式提取法提取红树莓中总多酚的工艺,并对红树莓多酚提取液的抗氧化性进行研究。

## 1 材料与方法

### 1.1 材料与仪器

红树莓 山东烟台,运输途中采用干冰保鲜,后立即储存在-20℃的冷库中备用;DPPH(1,1-二苯基-2-苦基肼自由基)、福林酚试剂、Trolox、没食子酸标品 北京索莱宝科技有限公司;羟基自由基测定试剂盒 南京建成生物有限公司;无水碳酸钠、乙醇、石油醚、氯仿 国药集团化学试剂有限公司;其他试剂 均为分析纯。

EYELA型真空冷冻干燥机 上海爱朗仪器有限公司;JHBE-50T型闪式提取器 河南智晶生物科技股份有限公司;SHZ-III型循环水真空泵 上海亚荣生化仪器厂;SpectraMax i3x型酶标仪 molecular debices;BSA124S型电子天平 赛多利斯科学仪器北京有限公司。

### 1.2 实验方法

**1.2.1 红树莓样品的处理** 红树莓鲜果(-70℃下迅速冻结)→真空冷冻干燥(-43℃,12 h)→粉碎过筛(40目)4℃储存备用。

**1.2.2 多酚提取的工艺流程** 取4 g红树莓样品粉末溶于150 mL溶剂→闪式提取→抽滤得滤液→(95%乙醇)醇沉静置收集上层清液→红树莓多酚粗提物。

准确称取4 g红树莓样品粉末溶于150 mL的溶剂中搅拌混匀,将混匀的样品溶液利用闪式提取器在一定的提取电压(由于受闪提器自身的原因,实验电压参数只能在100~200 V范围内设置)和提取时间下进行提取,将提取后的样品溶液进行抽滤,收集滤液,并将该滤液在95%的乙醇溶液中进行12 h醇沉,收集上层溶液得红树莓多酚粗提物。

**1.2.3 没食子酸标准曲线的绘制及多酚含量的计算** 多酚含量测定参考李杰<sup>[11]</sup>、Teng H等<sup>[12]</sup>方法,采用福林酚法测定,以没食子酸为基准物,得没食子酸标准曲线吸光值对浓度的线性回归方程为: $y = 3.7583x + 0.0603, R^2 = 0.9971$ 。根据没食子酸标准曲线回归方程计算树莓多酚含量。多酚提取量计算公式:

$$\text{多酚提取量 TPC (mg/g)} = (V \times C) / m \quad \text{式(1)}$$

式(1)中:m—样品质量,g;V—提取液的体积,mL;C—样品中多酚浓度,mg/mL。

**1.2.4 单因素实验设计** 选取溶剂类型、溶剂浓度、提取电压、提取时间为考察因素,以红树莓多酚提取量为指标进行单因素实验。

**1.2.4.1 溶剂类型因素的影响** 分别准确称取4 g红树莓冻干物粉末,按料液比4 g:150 mL各加入150 mL超纯水、50%乙醇、无水乙醇、氯仿、石油醚,提取时间为60 s,电压120 V,提取液经过滤,定容,根据1.2.3计算多酚提取量,每组重复3次平行实验。

**1.2.4.2 溶剂浓度因素的影响** 分别准确称取4 g红树莓冻干物粉末,按料液比4 g:150 mL各加入150 mL超纯水、25%乙醇、50%乙醇、75%乙醇、无水乙醇,提取时间为60 s,电压120 V,提取液经过滤,定容,

根据1.2.3计算多酚提取量,每组重复3次平行实验。  
**1.2.4.3 提取电压因素的影响** 分别准确称取4 g红树莓冻干物粉末,按料液比4 g:150 mL各加入150、50 mL 50%乙醇溶液,提取电压分别设定为0、100、125、150、175、200 V,提取时间为60 s,提取液经过滤,定容,根据1.2.3计算多酚提取量,每组重复3次平行实验。

**1.2.4.4 提取时间因素的影响** 分别准确称取4 g红树莓冻干物粉末,按料液比4 g:150 mL各加入50%乙醇,提取时间分别设定为20、40、60、80、100 s,提取电压为150 V,提取液经过滤,定容,测定计算,每组重复3次平行实验。

**1.2.5 响应面实验设计** 根据Box-Behnken中心组合实验设计原理,参考宋思圆等<sup>[13-16]</sup>方法并稍作修改,综合单因素实验结果,以乙醇溶液为提取剂,选取对树莓总多酚提取量影响较大的因素乙醇体积分数(A)、提取电压(B)和提取时间(C),进行中心组合实验。以多酚提取量(mg/g)为响应值,通过响应面分析得出闪式提取树莓中总多酚的最佳提取工艺条件。实验设计因素编码及水平见表1。

表1 响应面三因素三水平实验设计

Table 1 Factors and levels of response surface analysis

因素	水平		
	-1	0	1
A 乙醇体积分数(%)	25	50	75
B 提取电压(V)	125	150	175
C 提取时间(s)	40	60	80

### 1.2.6 红树莓多酚提取液抗氧化能力测定

**1.2.6.1 对 DPPH·清除能力** 参考王毕妮<sup>[17]</sup>等人方法并稍作修改。准确称取0.0039 g DPPH·粉末溶于无水乙醇定容至100 mL,室温下平衡2 h备用。分别取1 mL样品于试管中,加入9 mL DPPH·溶液,暗反应30 min后测其在517 nm处的吸光值,以乙醇为空白对照。Trolox为阳性对照。重复3次平行实验。

$$\text{DPPH·清除率 (\%)} = \left( 1 - \frac{A_s}{A_0} \right) \times 100$$

式中:A<sub>s</sub>,对照组吸光值;A<sub>0</sub>,样品组吸光值。

**1.2.6.2 对·OH清除能力** 参照试剂盒给定方法加样,将各组混匀,放置10 min,双蒸水调零,在520 nm处测定各组对照管和测定管吸光值,以超纯水为空白对照。Trolox为阳性对照。重复3次平行实验。

$$\cdot\text{OH 清除率 (\%)} = \left( 1 - \frac{A_s}{A_0} \right) \times 100$$

式中:A<sub>s</sub>,对照组吸光值;A<sub>0</sub>,样品组吸光值。

**1.2.7 数据处理** 采用Microsoft excel 2003软件及DPS数据处理系统处理上述实验数据、作图和数据分析。

## 2 结果和分析

### 2.1 单因素对红树莓总多酚提取量的影响

**2.1.1 溶剂对红树莓多酚提取量的影响** 结果见图1。

由图1可知,不同类型的提取溶剂对不同种类

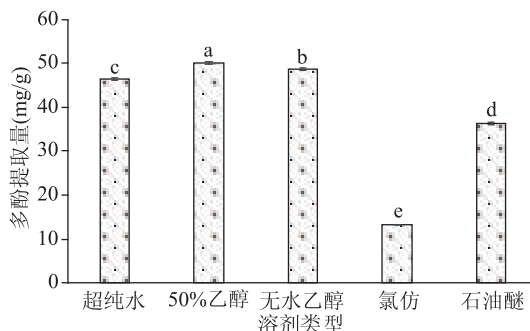


图 1 溶剂类型对红树莓多酚提取量的影响

Fig.1 Effect of solvent types on extraction content of polyphenols from red raspberry

注:(a,b,c,d,e)不同字母代表各组间具有显著性差异。

的多酚具有不同的提取效果,五种溶剂对红树莓中多酚提取量分别为:超纯水(46.50 mg/g),50%乙醇(50.12 mg/g),无水乙醇(48.67 mg/g),氯仿(13.27 mg/g),石油醚(36.41 mg/g),与氯仿、石油醚相比,无水乙醇、50%的乙醇和纯水这三种溶剂对红树莓中多酚的提取量较高,且五种溶剂对红树莓多酚的提取效果存在显著性差异( $p < 0.05$ ),水、无水乙醇、50%乙醇、氯仿及石油醚对红树莓中多酚提取效果的差异可能与红树莓中多酚的种类、分子结构、提取溶剂的极性有关<sup>[18]</sup>。为了得到更高的多酚提取量,因此确定树莓提取物的提取溶剂为乙醇和超纯水的混合溶液。

2.1.2 乙醇体积分数对红树莓多酚提取量的影响 结果见图 2。

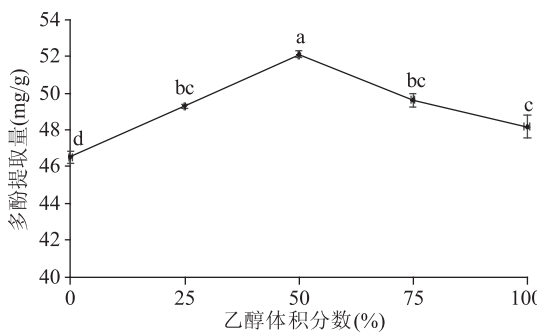


图 2 乙醇体积分数对红树莓多酚提取量的影响

Fig.2 Effect of ethanol concentration

on extraction content of polyphenols from red raspberry

由图 2 可知,在乙醇体积分数小于 50% 时,多酚提取量随着乙醇体积分数的增大而增加,当乙醇体积分数超过 50% 时总酚含量下降,这可能与红树莓中多酚物质以水溶性和非水溶性两种存在形式有关。非水溶性多酚多与蛋白质、多糖类物质以氢键和疏水键结合<sup>[19]</sup>。旷慧等<sup>[20]</sup>在醇法提取红树莓多酚工艺优化中表明:提高乙醇浓度能破坏红树莓中多酚与蛋白质、多糖类物质之间的共价键,从而提高多酚的释放量。当乙醇体积分数低于 50% 时,由于乙醇破坏细胞壁进入细胞内部,使得氢键断裂,酚类物质溶出,当乙醇体积分数超过 50% 时,乙醇会引起蛋白质变性阻碍酚类物质传质的过程,同时一些醇溶性类亲脂性强的成分溶出与多酚类物质竞争同溶剂

结合,使得多酚的提取量下降<sup>[21]</sup>;因此乙醇体积分数选择 25%、50%、75% 三个水平进行优化。

2.1.3 提取电压对红树莓多酚提取量的影响 结果见图 3。

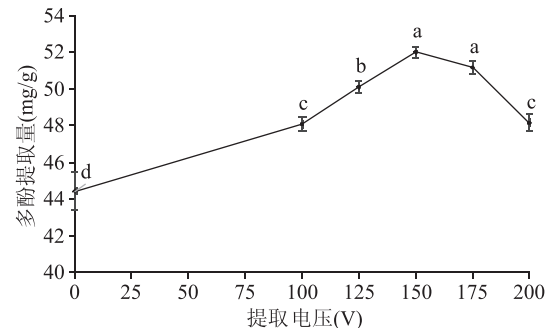


图 3 提取电压对红树莓多酚提取量的影响

Fig.3 Effect of voltage on extraction content of polyphenols from red raspberry

由图 3 可知,与其他五组采用不同电压闪式提取相比,不采用闪式提取(即提取电压为 0 V 时)的多酚的含量均低于采用闪式提取的含量;且在提取电压为 150 V 之前,随着提取电压的增大而增加,提取电压超过 150 V 之后含量下降,这可能是因为随着闪提电压的增大,闪提器刀头转速过快,使得树莓中有效成分的粒径变小,引起表面能增大被吸附在固体表面或是细微粒间相互粘连,使得不易溶解,导致多酚提取量降低<sup>[22]</sup>;因此提取电压选择 125、150、175 V 三个水平进行优化。

2.1.4 提取时间对红树莓多酚提取量的影响 结果见图 4。

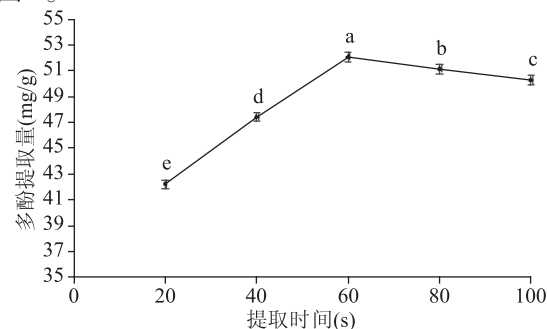


图 4 提取时间对红树莓多酚提取量的影响

Fig.4 Effect of time on extraction content of polyphenols from red raspberry

由图 4 可知,多酚的提取量在提取时间为 60 s 之前,随着提取时间的增加而增加,60 s 时多酚含量最大为 51.10 mg/g,提取时间超过 60 s 之后含量下降。这可能是因为随着闪提时间的延长,闪提器刀头能量的积攒而发热,引起多酚的分解导致多酚提取量降低<sup>[23]</sup>,因此提取时间选择 40 s、60 s、80 s 三个水平进行优化。

## 2.2 响应面分析实验结果和数据分析

乙醇浓度(A)、提取电压(B)、提取时间(C)为自变量,以树莓果实中的多酚提取量(Y)为响应值设计响应面实验,利用 Design Expert 8.2 对实验数据进行了二次多项回归拟合,得到回归方程如下:

$$Y = 52.31 - 0.29A - 0.11B - 0.22C + 1.06AB + 1.08AC - 1.15BC - 2.71A^2 - 2.80B^2 - 1.26C^2 \quad \text{式(2)}$$

表2 响应面分析实验设计及结果

Table 2 Experimental design and results of response surface analysis

实验号	A 乙醇体积分数(%)	B 提取电压(V)	C 提取时间(s)	多酚提取量(mg/g)
1	-1	-1	0	48.28
2	1	-1	0	45.66
3	-1	1	0	45.80
4	1	1	0	47.44
5	-1	0	-1	50.15
6	1	0	-1	47.33
7	-1	0	1	47.17
8	1	0	1	48.69
9	0	-1	-1	47.19
10	0	1	-1	49.39
11	0	-1	1	49.41
12	0	1	1	47.02
13	0	0	0	50.99
14	0	0	0	52.21
15	0	0	0	54.10
16	0	0	0	52.07
17	0	0	0	52.16

其中, Y 为树莓多酚提取量的预测值, A、B、C 分别为以上四个自变量的值。对上述方程进行方差分析, 结果如表 3 所示。

由方差分析结果可知, 模型的  $F = 13.59$ ,  $p = 0.0012 < 0.01$ , 说明实验模型高度显著。F 失拟 = 0.084, 失拟项  $p = 0.9655 > 0.05$ , 失拟不显著。模型的决定系数  $R_{\text{Adj}}^2 = 0.8763$ , 说明模型能够解释 87.63% 的响应值变化,  $R^2 = 0.9459$ , 表明该模型的拟合程度较好, 可以用此模型来分析和预测闪式提取树莓多酚

的工艺条件。 $F_A = 0.85$ 、 $F_B = 0.13$ 、 $F_C = 0.51$ , 可知各因素对树莓多酚的提取影响大小关系为乙醇体积分数 > 提取时间 > 提取电压。由表 3 还可以看出一次项 A、交互项 AB、AC、BC 及二次项 C<sup>2</sup> 对提取效果影响显著 ( $p < 0.05$ ), 二次项 A<sup>2</sup>、B<sup>2</sup> 对提取效果影响极显著 ( $p < 0.01$ ), 其它因素影响不显著 ( $p > 0.05$ )。

### 2.3 响应面分析及优化

根据回归方程, 各因素间交互作用的三维曲面见图 5~图 7。三维曲面反映每两个影响因素之间的交互作用。

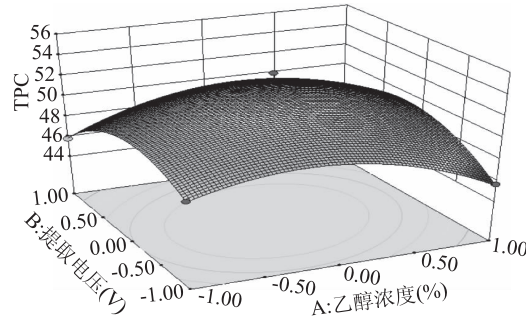


图 5 乙醇浓度和提取电压对 TPC 的影响

Fig.5 The effect of ethanol concentration and extraction voltage on TPC

根据回归模型绘制出各因素间交互作用的响应面图, 通过响应面图可直观的发现各因素两两交互显著程度, 等高线越偏平说明交互作用越显著, 对多酚的提取效果越好。由图 5~图 7 可知, 三种因素两两交互作用的等高线图均呈现椭圆状, 这表明乙醇浓度、提取电压和提取时间之间存在较强的交互性。

由 Design Expert 8.2 软件得出模型预测闪式提取红树莓中多酚的最佳条件为: 乙醇体积分数 48%、提取电压 149.75 V、提取时间 57.6 s, 此条件下多酚提取量为 52.33 mg/g。

考虑到实际操作对上述模型预测最优条件进行

表3 多酚提取量(TPC)回归模型方差分析表  
Table 3 Analysis of variance for the TPC fitted regression model

方差来源	平方和	自由度	均方	F 值	p 值	显著性
模型	93.50	9	10.39	13.59	0.0012	**
A	0.65	1	0.65	0.85	0.03873	*
B	0.099	1	0.099	0.13	0.7296	
C	0.39	1	0.39	0.51	0.4972	
AB	4.54	1	4.54	5.93	0.0450	*
AC	4.71	1	4.71	6.16	0.0421	*
BC	5.27	1	5.27	6.89	0.0342	*
$A^2$	31.02	1	31.02	40.57	0.0004	**
$B^2$	32.93	1	32.93	43.08	0.0003	**
$C^2$	6.65	1	6.65	8.70	0.0214	*
残差	5.35	7	0.76			
失拟性	0.32	3	0.11	0.084	0.9655	
纯误差	5.04	4	1.26			
总差	98.86	16				

注:  $R^2 = 0.9459$ ;  $R_{\text{Adj}}^2 = 0.8763$ ; \* 差异显著,  $p < 0.05$ ; \*\* 差异极显著,  $p < 0.01$ ,  $p > 0.05$  表示差异不显著。

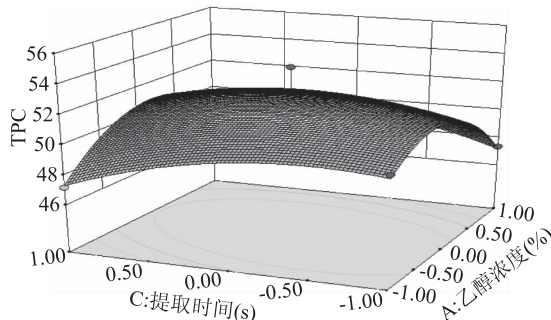


图6 乙醇浓度和提取时间对TPC的影响

Fig.6 The effect of ethanol concentration and extraction time on TPC

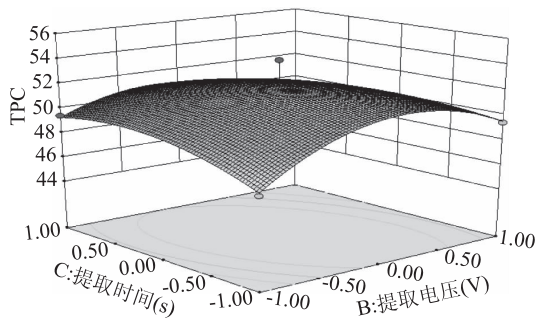


图7 提取电压和提取时间对TPC的影响

Fig.7 The effect of extraction voltage and extraction time on TPC

修正,最终总多酚优化条件为乙醇体积分数为48%、电压150 V、提取时间为57 s,在此条件下进行3次平行实验验证,红树莓中多酚的提取量为 $(52.24 \pm 0.66)$  mg/g,与理论预测值52.33 mg/g极为接近,说明用该模型对红树莓中多酚的提取进行工艺优化具有一定的实际可操作性。

#### 2.4 抗氧化能力分析

由图8可知,红树莓多酚提取液对DPPH·和·OH有较强的清除效果,且随着红树莓多酚提取物浓度的增大,清除率越高。当红树莓多酚提取物浓度小于104.32 μg/mL时,清除DPPH·、·OH的效果提高较明显,当大于104.32 μg/mL之后清除效果变化缓慢,当添加量为208.64 μg/mL时,对DPPH·清除率达到93.71%,对·OH清除率达到84.13%。这可能是因为红树莓多酚提取液中各成分之间的含量存在差

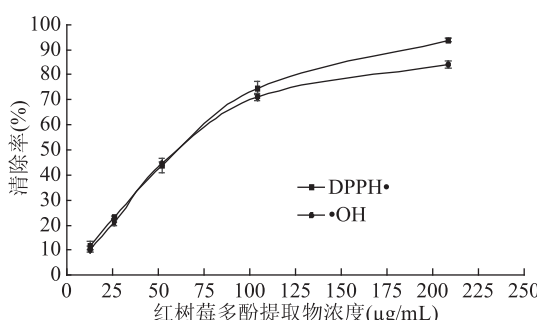


图8 提取物对DPPH·和·OH清除能力

Fig.8 Scavenging effects of the extracts on DPPH and OH radical

异,且复杂的活性成分之间的相互协同或拮抗作用导致了所提取的DPPH·与·OH的清除效果不同<sup>[24]</sup>。由图9可知,Trolox对DPPH·和·OH有极强的清除效果,当Trolox的浓度达到50 μg/mL时,对DPPH·清除率达到96.00%,对·OH清除率达到91.89%,略高于红树莓多酚提取物浓度为208.64 μg/mL时的清除率。

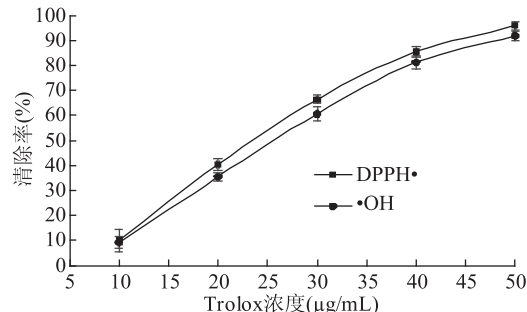


图9 Trolox对DPPH·和·OH清除能力

Fig.9 Scavenging effects of Trolox on DPPH and OH radical

#### 3 结论

在本实验中,首先采用单因素实验分析了溶剂类型、溶剂体积分数和提取电压、提取时间四个因素分别对树莓中多酚提取量的影响,确定合适的提取条件,再利用响应面分析法优化提取条件,并以此得到红树莓多酚提取液进行抗氧化性研究。结果表明:树莓中多酚提取最佳工艺参数为:乙醇体积分数48%、电压150 V、提取时间57 s,得到红树莓多酚提取量为 $(52.24 \pm 0.66)$  mg/g,同时红树莓多酚提取液对DPPH·和·OH均有较强的清除效果,且清除率随多酚提取液添加量的增多而提高,本实验中浓度为208.64 μg/mL的红树莓多酚提取物对DPPH·和·OH的清除效果略低于50 μg/mL的Trolox,显示红树莓多酚提取物具有较强的体外抗氧化性。

但本文未能详细说明不同溶剂对红树莓多酚提取量与树莓中多酚种类两者之间的关系、抗氧化性与多酚成分之间的关系。本工艺与传统提取工艺相比,具有操作简单、提取时间短、提取率高等特点,是一种高效节能的新型的提取红树莓中多酚的方法,另外红树莓多酚也表现出较强的抗氧化性,具有一定的开发价值。

#### 参考文献

- [1] 孙红艳,孟军,吕安坤.国内外树莓体内研究现状[J].现代中西医结合杂志,2014(18):2038-2042.
- [2] 司旭,陈芹芹,毕金峰,等.树莓主要功能性成分研究进展[J].食品工业科技,2015,36(4):376-381.
- [3] 王海明,刘树英,刘洪章.红树莓中酚类化合物研究进展[J].北方园艺,2011(11):180-183.
- [4] Galan A M, Calinescu I, Trifan A, et al. New insights into the role of selective and volumetric heating during microwave extraction: Investigation of the extraction of polyphenolic compounds from sea buckthorn leaves using microwave-assisted extraction and conventional solvent extraction [J]. Chemical Engineering and Processing: Process Intensification, 2017, 116:

29-39.

- [5] Deng J, Xu Z, Xiang C, et al. Comparative evaluation of maceration and ultrasonic - assisted extraction of phenolic compounds from fresh olives[J]. Ultrasonics Sonochemistry, 2017, 37:328-334.
- [6] 宋丽军, 侯旭杰, 李雅雯, 等. 核桃青皮中多酚的超高压提取工艺优化[J]. 食品与机械, 2015, 31(4): 178-182.
- [7] 汪礼洋. 树莓中花色苷的提取、分离、纯化及氧化活性研究[D]. 郑州: 河南工业大学, 2016; 2-4.
- [8] 武艳梅, 赵航, 李淑燕, 等. 闪式提取法提取黄芪活性成分工艺研究[J]. 食品科学, 2011, 32(24): 98-101.
- [9] 崔洁, 潘倩, 张乔会, 等. 山杏仁种皮多酚的闪式提取工艺优化及体外抗氧化活性研究[J]. 食品工业科技, 2015(10): 273-277.
- [10] 初侨, 席兴军, 杨丽. 肉苁蓉中松果菊苷和毛蕊花糖苷闪提工艺研究[J]. 食品研究与开发, 2015(16): 49-52.
- [11] 李杰, 赵声兰, 陈朝银. Folin-Ciocalteu 比色法测定核桃青皮果蔬酵素总多酚含量[J]. 中国酿造, 2015, 34(9): 130-134.
- [12] Teng H, Lee W Y, Choi Y H. Optimization of microwave-assisted extraction for anthocyanins, polyphenols, and antioxidants from raspberry (*Rubus Coreanus* Miq.) using response surface methodology [J]. Journal of Separation Science, 2013, 36(18): 3107.
- [13] 宋思圆, 苏平, 王丽娟, 等. 响应面实验优化超声提取黄秋葵花果胶多糖工艺及其体外抗氧化活性[J]. 食品科学, 2017, 38(2): 283-289.
- [14] Jia L I, Zhao-Xia W U, Zhang X, et al. Optimization of

extraction process for free anthraquinone from Semen Cassiae by response surface methodology [J]. Food Science, 2011, 32(16): 192-195.

- [15] 万山, 杨喆, 朱保庆, 等. 响应面法优化红树莓花色苷超声辅助提取工艺的研究[J]. 食品工业科技, 2016, 37(3): 220-228.
- [16] 刘灿, 荣永海, 王志滨, 等. 闪式提取法提取罗汉果多酚[J]. 食品科学, 2010, 31(22): 50-53.
- [17] 王毕妮. 红枣多酚的种类及抗氧化活性研究[D]. 杨凌: 西北农林科技大学, 2011.
- [18] 金青, 马晓云, 杨丽丽, 等. 不同溶剂对酿酒葡萄皮渣多酚组成的提取效果比较[J]. 中国食品学报, 2016, 16(4): 182-190.
- [19] Shumoy H, Gabaza M, Vandeveld J, et al. Soluble and bound phenolic contents and antioxidant capacity of tef injera as affected by traditional fermentation [J]. Journal of Food Composition and Analysis, 2017, 58: 52-59.
- [20] 旷慧, 迟超, 吕长山, 等. 红树莓多酚的醇法提取工艺优化[J]. 食品科学, 2016, 37(10): 88-93.
- [21] 阙森琳, 蒋玉蓉, 曹美丽, 等. 响应面实验优化藜麦种子多酚提取工艺及其品种差异[J]. 食品科学, 2016, 37(4): 7-12.
- [22] 张怡, 张煜, 刘攀, 等. 辣椒渣抗氧化成分闪式提取动力学研究[J]. 食品科技, 2014(1): 215-219.
- [23] 张迪, 王勇, 王彦兵, 等. 闪式提取法提取枣果皮中多酚的工艺研究[J]. 食品工业科技, 2013(4): 259-262.
- [24] 宁玮钰, 冯建文, 吕长山, 等. 红树莓不同溶剂提取物抗氧化活性[J]. 食品工业科技, 2016, 37(19): 117-122.

(上接第 196 页)

- 提取工艺[J]. 天然产物研究与开发, 2015, 27: 1099-1104.
- [14] 蒋得旗, 黄利敏, 王艳, 等. 响应面优化纤维素酶法提取桂花多糖工艺及其抗氧活性研究[J]. 食品工业科技, 2015, 36(2): 271-276.
- [15] 李粉玲, 蔡汉权, 林泽平, 等. 红豆多糖抗氧化性及还原能力的研究[J]. 食品工业, 2014, 35(2): 190-194.
- [16] 熊建文, 许金蓉, 张佳艳, 等. 酶法辅助超声波提取火龙果多糖及其抗菌活性[J]. 食品工业科技, 2015, 36(17): 229-238.
- [17] 宋晓勇, 刘强, 杨磊, 等. 蒲公英多糖提取工艺及其抗菌活性研究[J]. 中国药房, 2011, 21(47): 4453-4455.
- [18] 姚以才, 耿中华, 王乃馨, 等. 芦根多糖的超声辅助提取及其抗菌活性[J]. 食品科学, 2011, 32(14): 147-151.
- [19] Qiaohong Han, ZiLi Wu, Bo Huang et al. Extraction antioxidant and antibacterial activities of *Broussonetia papyrifera* fruits polysaccharides [J]. International Journal of Biological Macromolecules, 2016, 92: 116-124.
- [20] Saeed Tahmouzi, Mitra Ghodsi. Optimum extraction of polysaccharides from motherwort leaf and its antioxidant and antimicrobial activities [J]. Carbohydrate Polymers, 2014, 112:

396-403.

- [21] 沈建林, 沈红元. 香蕉多糖的抗菌活性研究[J]. 食品研究与开发, 2016, 36(18): 69-71.
- [22] 许小向, 洪艳平, 胡捷敏, 等. 松针多糖微波提取工艺及抗氧化性研究[J]. 食品工业科技, 2015, 36(23): 222-227.
- [23] 王建明, 古力, 康智明, 等. 铁皮石斛多糖的提取工艺优化及其抗氧化活性研究[J]. 西北农林科技大学学报: 自然科学版, 2013, 41(12): 143-148.
- [24] 王雅, 苗敬芝, 董钰玮, 等. 超声波协同复合酶法提取杏鲍菇多糖及抗氧化活性的研究[J]. 食品工业, 2014, 35(3): 134-136.
- [25] 董兰芳, 张琴, 童潼, 等. 方格星虫多糖抗菌和抗氧化活性研究[J]. 广西科学, 2013, 20(4): 289-293.
- [26] 孙诗清, 王玉洁, 朱长俊, 等. 超声波辅助双水相提取虫草多糖的工艺研究[J]. 安徽农业科学, 2012, 4(33): 16392-16394.
- [27] 金婷. 双水相萃取芡实多糖工艺研究[J]. 中国食物与营养, 2015, 21(2): 61-64.
- [28] 杨娜, 王鸿飞, 许凤, 等. 蕤麻多糖提取及体外抗氧化活性研究[J]. 中国食品学报, 2014, 14(2): 60-66.